

# Equação do calor

Lucas Monteiro (fc52849@alunos.fc.ul.pt)

Resolução da equação do calor em regime estacionário utilizando o método dos elementos finitos lineares, em formulação fraca com método de Garlekin e representando o problema na sua forma matricial. Comparação com a solução analítica.

## Introdução

Neste trabalho pretende-se resolver o equação do calor para o regime estacionário de uma barra metálica unidimensional de tamanho  $L$  com coeficiente de difusão térmico  $\alpha$ , tanto analiticamente como numericamente, e comparar os resultados. A barra está num meio em temperatura ambiente  $T_a$  e em contato com um reservatório de calor a temperatura  $T_R$  numa das suas extremidades.

Toma-se que  $T_R > T_a$  logo a barra dissipa para o ambiente a energia que adquire do reservatório. Tanto o reservatório como o meio são considerados *infinitos*, ou seja, a sua temperatura vai se manter constante mesmo quando a barra transfere energia entre os sistemas.

$$\frac{\partial u(x)}{\partial t} = \alpha \left( \frac{\partial^2 u(x)}{\partial x^2} \right) - \mu u(x) \quad (1)$$

A equação para a variação de temperatura é dada em (1), onde  $u(x) = T(x) - T_a$ , sendo  $T(x)$  a temperatura da barra a uma distância  $x$  do reservatório, e  $\mu$  a taxa de perda para a atmosfera. Considerando o estado estacionário obtém-se (2).

$$\frac{\partial u(x)}{\partial t} = 0 \Rightarrow \frac{\partial^2 u(x)}{\partial x^2} = k u(x), \quad k = \frac{\mu}{\alpha} \quad (2)$$

Sabe-se que equações diferenciais da forma  $u'' = ku$ ,  $u \equiv u(x)$ , apresentam solução analítica da forma:

$$\frac{\partial^2 u}{\partial x^2}(x) = k u(x) \Rightarrow u(x) = A e^{\sqrt{k}x} + B e^{-\sqrt{k}x}$$

Sabendo a forma da solução e definindo  $k = 1$  e  $T_R = 2T_a$  consegue-se, pela definição de  $u(x)$ , calcular as, e o problema às, condições de fronteira obtendo a solução analítica (3) do problema. A barra vai ter temperatura  $T_R$  em  $x = 0$  e  $T_a$  em  $x = L$ , logo:

$$\begin{cases} u(0) = T_a \\ u(L) = 0 \end{cases} \Rightarrow u(x) = \left( \frac{T_a}{e^{2L} - 1} \right) (e^{2L-x} - e^x) \quad (3)$$

Para calcular o problema, de forma  $u'' - u = 0$ , numericamente vai ser utilizado o método do elementos finitos, que é um método numérico particularmente utilizado para resolver equações diferenciais parciais, nomeadamente problemas às condições de fronteira.

Começa por expandir a função numa série de bases de funções  $u_i(x)$ , no entanto para uma função ser equivalente à sua expansão, esta tem de ser infinita, o que corresponde a um problema de infinitas incógnitas, impossível de resolver numericamente.

Logo, o método aproxima  $u(x)$  a  $\tilde{u}(x)$ , subdividido o domínio do problema em  $N+1$  nodos distanciados por  $\Delta = \frac{L}{N}$ , logo de espaço discretizado. Cada nodo é colocado em  $x_i = i \cdot \Delta$ , logo, neste caso, o nodo  $i = 0$  está na extremidade em contacto com o reservatório de calor e o nodo  $i = N$  está em  $x = L$ . Quanto maior o  $N$ , ou menor o  $\Delta$ , mais nodos terá o problema, logo mais próxima estará  $\tilde{u}$  de  $u$ .

Deste modo consegue-se resolver o problema calculando os valores das incógnitas  $a_i$ , que não dependem de  $x$ , definindo uma base de funções. A sua escolha é muito importante no método dos elementos finitos. Neste trabalho vão ser utilizadas funções lineares, nomeadamente funções triangulares de altura 1 e base  $2\Delta$ , pela simplicidade do cálculo das suas derivadas e por serem localizadas, ou seja um cálculo que se realize num certo elemento só vai depender do próprio ou dos adjacentes a ele.

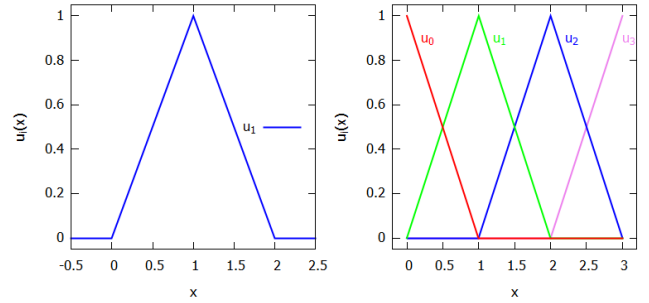


Figura 1. Gráfico de uma função triangular  $u_1(x)$  e da base de funções  $u_i(x)$  com  $x \in [0, 3]$ . Em ambas  $\Delta = 1$ .

As funções base são então deslocadas de modo a que a cada nodo  $i$  corresponda uma, como se observa na Figura 1. A expansão em série de  $\tilde{u}(x)$  na base escolhida está representada em (4). No caso em estudo as soluções de  $a_i$  vão aproximar-se de  $u(x_i)$ .

$$\tilde{u}(x) = \sum_{i=0}^N a_i u_i(x), \quad u_i(x) = \begin{cases} \frac{x-x_{i-1}}{\Delta}, & x \in [x_{i-1}, x_i] \\ \frac{x_{i+1}-x}{\Delta}, & x \in [x_i, x_{i+1}] \\ 0, & x \notin [x_{i-1}, x_{i+1}] \end{cases} \quad (4)$$

A equação vai ser resolvida na sua formulação fraca, ou seja, a equação diferencial vai ser multiplicada por funções peso  $\omega_j(x)$  e integrada no seu domínio, que é mais fácil de resolver. Também vai ser utilizado o método de Garlekin onde as funções peso são iguais às da base.

$$\int_0^L [u'' - u] \omega_j(x) dx \stackrel{\omega_j \equiv u_j}{\approx} \sum_{i=0}^N a_i \int_0^L [u_i'' - u_i] u_j dx = 0$$

Nota-se que o integral pode ser representado na forma matricial e, integrando por partes de modo a reduzir a derivada de maior ordem, obtém-se (5).

$$\int_0^L [u_i'' - u_i] u_j dx = [u_i' u_j]_0^L - \int_0^L u_i' u_j' dx - \int_0^L u_i u_j dx \Rightarrow \sum_{i=0}^N a_i A_{ij} = 0, \quad A_{ij} = - \int_0^L (u_i' u_j' + u_i u_j) dx \quad (5)$$

Com  $[u_i' u_j]_0^L = 0$ ,  $\forall_{i,j}$ , visto que  $u_i$  é localizada, ou seja, apenas os termos onde  $j = i$  e  $j = i \pm 1$  não são nulos. De (3) sabe-se as soluções dos nodos na fronteira,  $a_0 = T_a$  e  $a_N = 0$ , logo, substituindo em  $i = 0, N$  reduz-se o problema para (6), onde  $\mathbf{b}_j$  é o conjunto dos resíduos.

$$\sum_{i=1}^{N-1} a_i A_{ij} = T_a \left( \int_0^L u_0' u_j' dx + \int_0^L u_0 u_j dx \right) = b_j \quad (6)$$

Como  $u_i$  é localizada tem-se que  $b_j = 0 \forall_{i>1}$  e:

$$b_1 = T_a \left( \int_0^\Delta \frac{-1}{\Delta} \frac{1}{\Delta} dx + \int_0^\Delta \frac{\Delta - x}{\Delta} \frac{x}{\Delta} dx \right) = T_a \left( \frac{\Delta}{6} - \frac{1}{\Delta} \right)$$

Tem-se então um problema na forma matricial  $A\vec{a} = \vec{b}$ , com  $N - 1$  incógnitas  $a_i$ . Na matriz  $A$  apenas os elementos  $A_{ii}$  e  $A_{ii\pm 1}$  são não nulos e dados por:

$$A_{ii} = - \int_{x_{i-1}}^{x_i} \left[ \frac{1}{\Delta^2} + \left( \frac{x - x_{i-1}}{\Delta} \right)^2 \right] dx - \int_{x_i}^{x_{i+1}} \left[ \left( \frac{-1}{\Delta} \right)^2 + \left( \frac{x_{i+1} - x}{\Delta} \right)^2 \right] dx = -2 \int_0^\Delta \left( \frac{1}{\Delta^2} + \frac{y^2}{\Delta^2} \right) dy = -2 \left( \frac{1}{\Delta} + \frac{\Delta}{3} \right)$$

, onde  $y = \pm(x_{i\pm 1} - x)$  é a mudança de variável utilizada para calcular o integral entre  $x_i$  e  $x_{i\pm 1}$ . Em  $A_{ii\pm 1}$  só se vai integrar num intervalo pois todos os outros são nulos:

$$A_{ii\pm 1} = \mp \int_{x_i}^{x_{i\pm 1}} \left[ \frac{-1}{\Delta} \frac{1}{\Delta} + \left( \frac{x_{i\pm 1} - x}{\Delta} \right) \left( \frac{x - x_i}{\Delta} \right) \right] dx = - \int_0^\Delta \left[ \frac{-1}{\Delta^2} + \frac{y}{\Delta} \frac{\Delta - y}{\Delta} \right] dy = \frac{1}{\Delta} - \frac{\Delta}{6}$$

Tem-se então todos os elementos necessários para calcular as soluções  $a_i$ , resolvendo a equação matricial (6) com os valores de  $A_{ij}$  e  $b_j$  obtidos.

## 1. Resolução numérica da equação do calor

Para descobrir a solução da equação matricial  $A\vec{a} = \vec{b}$  foi utilizada a biblioteca *SparseLib++* no *C++*, que resolve este tipo de equações numericamente de uma maneira iterativa. Tem como parâmetros a matriz  $A$  e os vetores  $\vec{a}$  e  $\vec{b}$ , que dependem de  $\Delta$  logo de  $N$  e  $L$ ; uma precisão  $\epsilon$  e um número máximo de iterações  $k_{\text{máx}}$ .

Definiu-se  $L = 10$  e calculou-se a solução analítica de  $u$  utilizando (3), para comparar com a solução numérica.

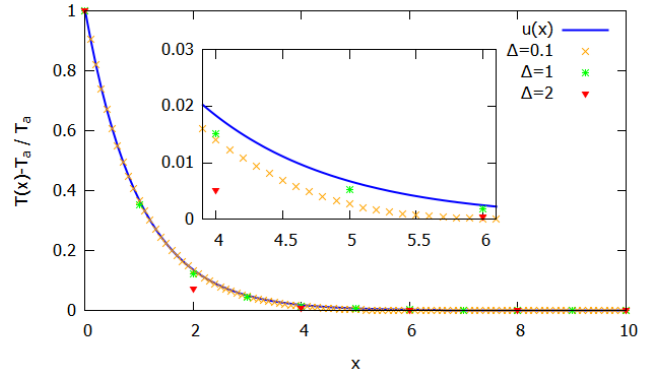


Figura 2. Comparação da solução de  $u(x)$  analítica e numérica para  $L = 10$  e diferentes  $\Delta$ , com  $\epsilon = 10^{-4}$  e  $k_{\text{máx}} = 10^4$ .

Calculou-se a solução numérica com  $\epsilon = 10^{-4}$ ,  $k_{\text{máx}} = 10^4$  e variando  $\Delta$ . Parecia que as soluções de  $a_i$  eram semelhantes aos respectivos pontos na curva da solução analítica para  $\Delta$ s pequenos, no entanto uma análise mais profunda revelou que estes eram ligeiramente menores. Não se esperava este resultado no entanto resolveu-se a discrepância aumentando a precisão do solucionador matricial iterativo. Experimentou-se então calcular soluções para  $\epsilon = 10^{-8}$  e  $\Delta$ s menores, mantendo  $k_{\text{máx}}$ . Os resultados estão representados nas Figuras 2 e 3.

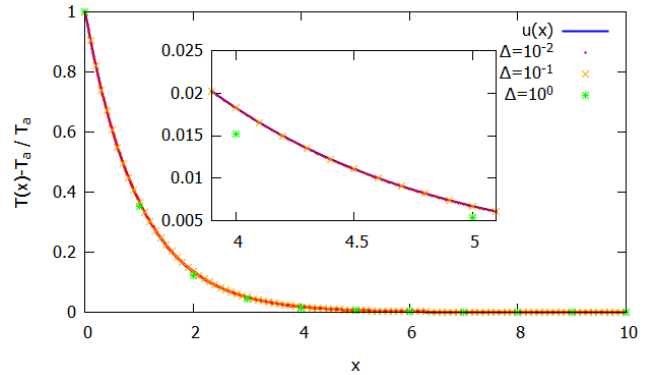


Figura 3. Comparação da solução de  $u(x)$  analítica e numérica para  $L = 10$  e diferentes  $\Delta$ , com  $\epsilon = 10^{-8}$  e  $k_{\text{máx}} = 10^4$ .

## Conclusão

Resolveu-se numericamente de maneira eficiente e simples a solução da equação do calor em regime estacionário utilizando o método dos elementos finitos lineares. Para isso foi essencial escolher uma base de funções localizadas e admitir a equação na forma integral e, posteriormente, matricial de modo encontrar a solução de uma maneira iterativa, mais simples.

Ao comparar com a solução analítica conclui-se como esperado, que quanto mais o sistema é subdividido, maior a sua aproximação aos valores analíticos, tendo o cuidado de definir corretamente a precisão necessária.